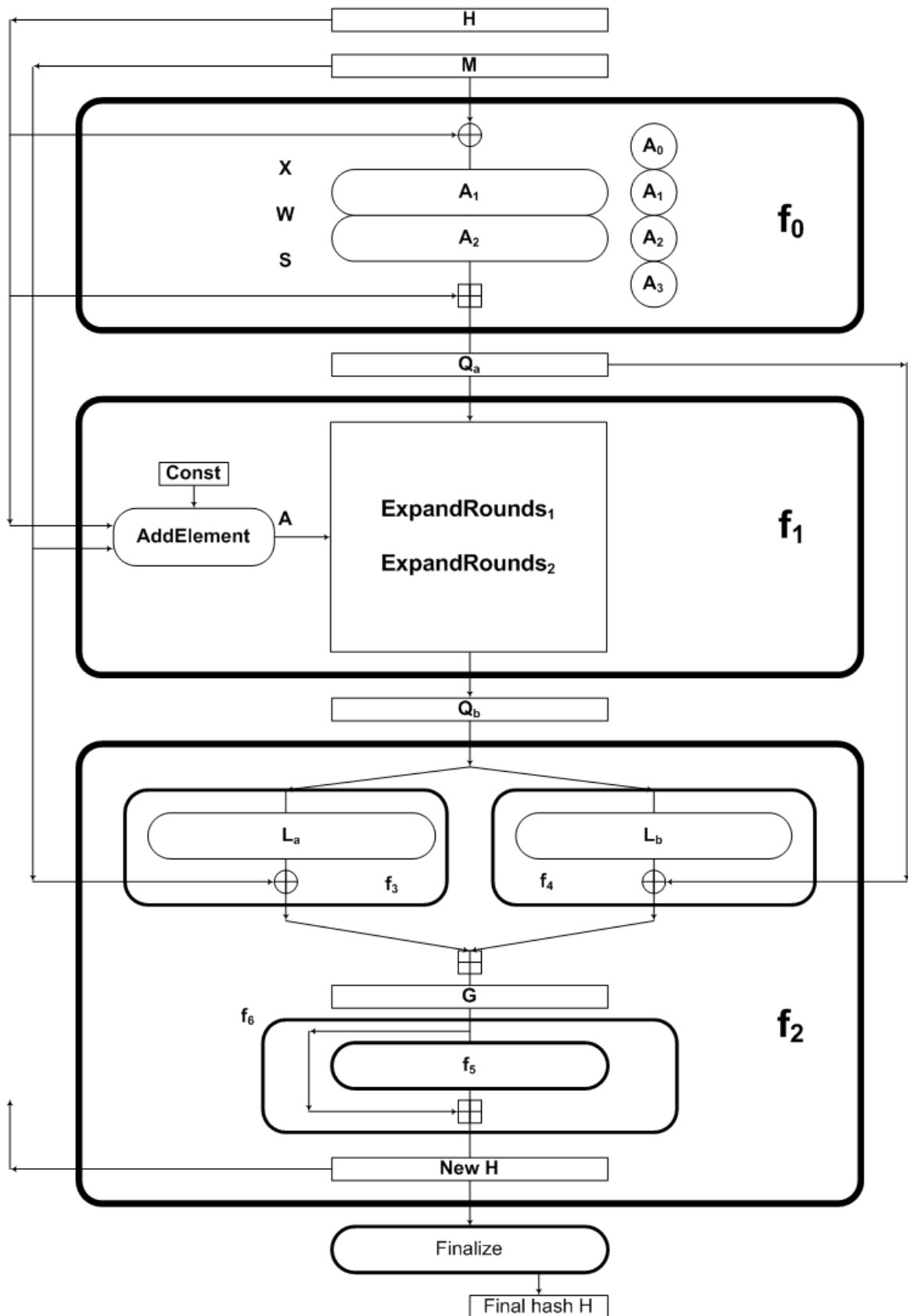


A. Poznámka k lineárním aproximacím kryptografické hašovací funkce BLUE MIDNIGHT WISH

Vlastimil Klíma, nezávislý kryptolog, (v.klima@volny.cz)

Petr Sušil, PhD student, EPFL, (susil.petr@gmail.com)

Abstrakt. Hašovací funkce BLUE MIDNIGHT WISH (BMW) je nejrychlejší ze 14 kandidátů v 2. kole soutěže SHA-3 [1]. Na začátku tohoto kola byli autoři kandidátů vyzváni, aby před 15. zářím upravili své algoritmy (tzv. tweak). V tomto příspěvku se budeme zabývat tedy nejnovější "tweakovanou" verzí BMW [3]. Algoritmus BMW je typu AXR, protože používá pouze operace ADD (sub), XOR a ROT (shift). Když operaci ADD nahradíme XOR, obdržíme BMW_{lin} , což je afinní transformace. V příspěvku uvažujeme pouze funkci BMW_{lin} a její stavební bloky. Tyto afinní transformace mohou být reprezentovány lineární maticí a konstantním vektorem. Zjistili jsme, že všechny matice vyšších stavebních bloků BMW_{lin} mají plnou hodnotu nebo hodnotu blízkou k ní. Také jsme zkoumali strukturu těchto matic. Matice dílčích stavebních bloků mají očekávanou nenáhodnou strukturu, zatímco matice vyšších bloků mají strukturu již náhodnou. Ukážeme také matice pro různé hodnoty $ExpandRounds_1$ (pro hodnoty mezi 0 a 16). Jejich zvyšování vede k větší náhodnosti matic, což bylo návrháři zamýšleno. Tato pozorování platí pro obě verze $BMW_{256_{lin}}$ a $BMW_{512_{lin}}$. V této lineární analýze jsme nenašli žádnou užitečnou vlastnost, která by pomohla kryptoanalýze, ani jsme nenašli žádnou slabost BMW. Studium dílčích bloků bude následovat.



Obr.1: Schéma (tweakované verze) BMW [3]

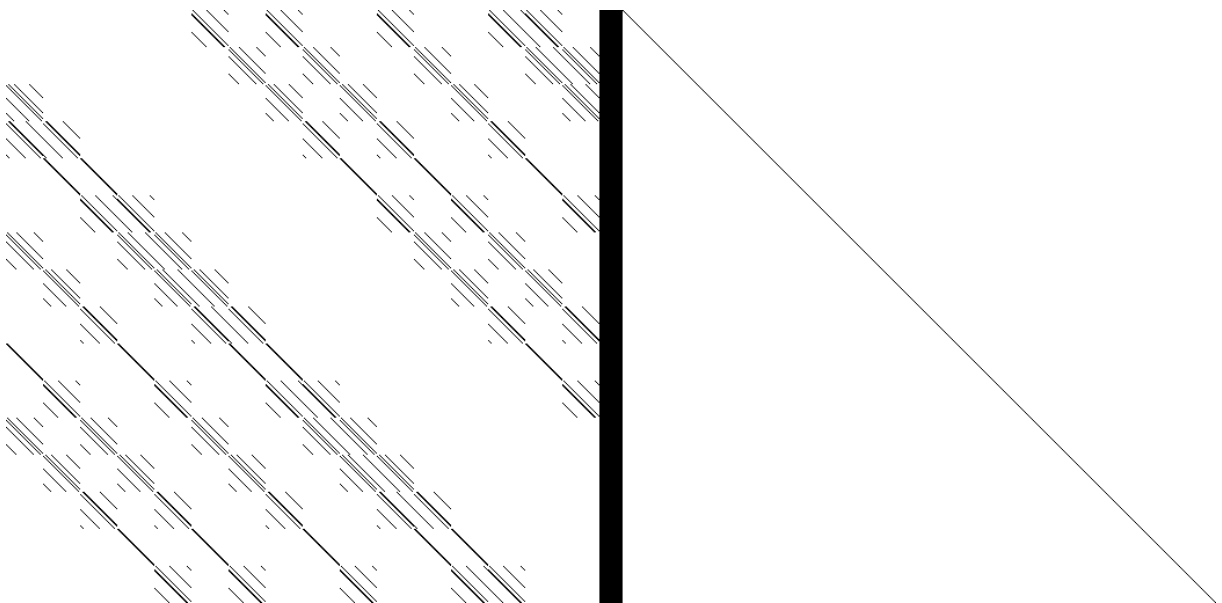
Úvod

V příspěvku uvažujeme pouze funkci BMW_{lin} a její stavební bloky. Tyto afinní transformace mohou být reprezentovány maticemi. Uvádíme hodnotu a strukturu těchto matic. Hlavní bloky BMW jsou f_0, f_1, f_2 . Vytváří tři meziproměnné Q_a, Q_b, G a průběžnou haš H (viz obr. 1). Všechny čtyři proměnné jsou $16 \cdot w$ - bitová slova ($w = 32/64$ pro $BMW_{256/512}$). Tyto proměnné závisí pouze na vstupním bloku M a na staré průběžné hašovací hodnotě H . Právě tyto závislosti budou ukázány v maticích. Povšimněte si hodnoty a struktury každé matice. Některé matice budou ukázány pro několik různých hodnot bezpečnostního parametru $ExpandRounds_1$. Připomeňme, že po $ExpandRounds_1$ rundách typu $expand_1$ následuje $16 - ExpandRounds_2$ rund typu $expand_2$ [3]. Pro rozsáhlost tohoto příspěvku předpokládáme, že čtenář je seznámen se základním popisem BMW v [3]. Také používáme jednoduché označení H , ale kdykoli by mohlo dojít k nepochopení, která z hodnot to je, odlišujeme je jako $oldH$ a $newH$ (viz obr. 1). Naše pozorování platí pro obě verze obě verze $BMW_{256_{lin}}$ a $BMW_{512_{lin}}$, proto z důvodu jednoduchosti prezentujeme výsledky pouze pro $BMW_{256_{lin}}$.

Na následujícím obrázku vidíme lineární závislost mezi M a Q_a . Jsou zde dvě matice typu 512×512 (oddělené černým pruhem), což označujeme jako (M, Q_a) . Sloupce reprezentují 512 proměnných (bitů) proměnné M na levé straně a 512 proměnných (bitů) proměnné Q_a na pravé straně. Řádky pak reprezentují lineární závislosti mezi bity na levé straně (M) a bity na pravé straně (Q_a). Protože matice na pravé straně je identická, dává nám to přímou závislost bitů Q_a na bitech proměnné M . Každý řádek může být také zapsán jako lineární rovnice

$$\bigoplus_{i \in Left} x_i = \bigoplus_{j \in Right} y_j.$$

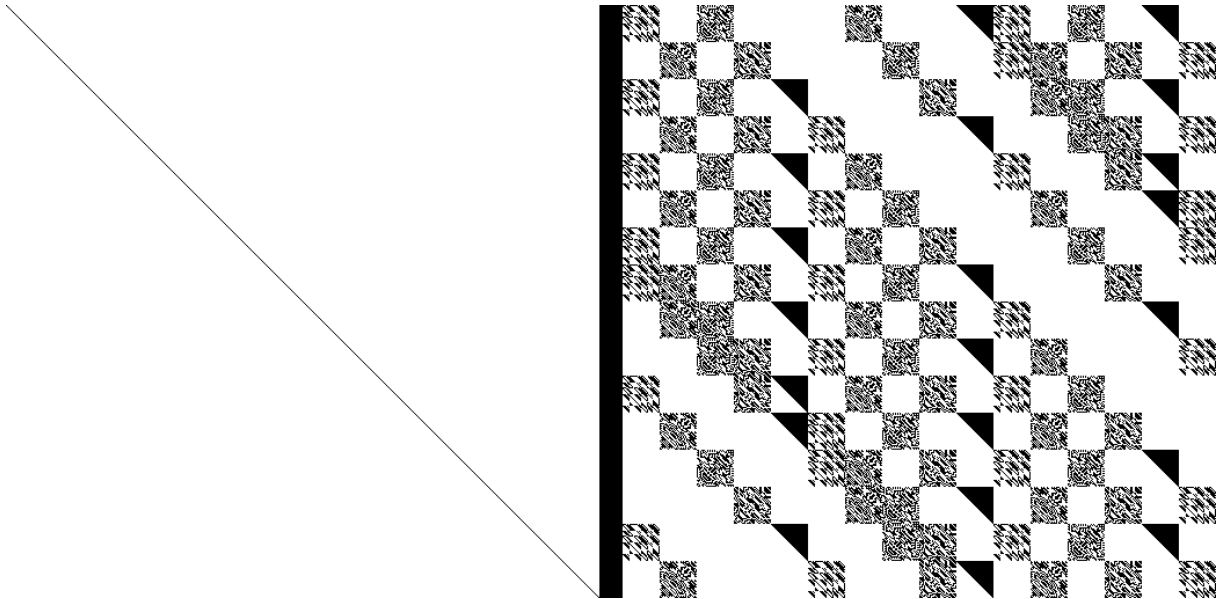
Indexy bitů, které se objevují v rovnici, jsou na obrázku 2 označeny jako černé body. Tím zde mj. můžeme vidět závislost prvního slova Q_a na pěti slovech M , což vyplývá z definice transformace A_1 ve [3].



Obr.2: Příklad závislosti mezi proměnnými (bity) M a Q_a , což označujeme jako (M, Q_a) .

Když bychom chtěli vidět závislost M na Q_a , potřebovali bychom inverzní matici. Jak víme z lineární algebry, xorováním jednoho řádku s jiným nebo jejich výměna nemění hodnotu matice. S využitím těchto dvou operací v našem eliminačním algoritmu transformujeme dvojici matic (A, I) na (I', A') , kde I je identická matice a I' je identická, pokud matice A má plnou hodnotu. Je-li I' identita, pak A' ukazuje závislosti M na Q_a , viz následující obrázek. Je-li A singulární, pak I' bude mít neprázdný sloupec (sloupce) nad diagonálou. Poznamenejme, že proměnná, která odpovídá tomuto neprázdnému sloupci není nezávislá a vystupuje pouze v lineární kombinaci s dalšími proměnnými (bity) v matici, viz například obrázek 4 (výřez obrázku pro hodnotu = MAX - 1).

V následujícím uvádíme pouze nejzajímavější závislosti.



Obr.3: (M, Q_a) - závislost mezi M a Q_a

Elimination algorithm - transformation of (A, I) to (I', A') :

Input: boolean matrix $A[LEN][LEN]$

Output: pair of boolean matrices (I', A')

var boolean matrix $I[LEN][LEN]$, where $I[i][j]=1$ if $i=j$ and $I[i][j]=0$ otherwise

for $i=1$ to LEN

begin

if $A[i][i]$ then

for all $j \neq i$ and $A[j][i]$ //add line i to line j in (A, I)

for all k

$A[j][k] = A[j][k] + A[i][k]$ and $I[j][k] = I[j][k] + I[i][k]$;

else

for all $j > i$

if $A[j][i]$ //switch line j and i in (A, I)

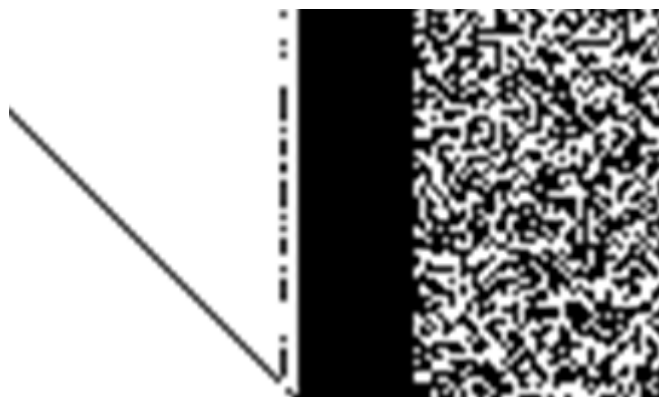
for all k

switch values $A[j][k]$ and $A[i][k]$ and $I[j][k]$ and $I[i][k]$

go to begin (without increasing i) or go to end (if $i = LEN$)

end

output (A, I)



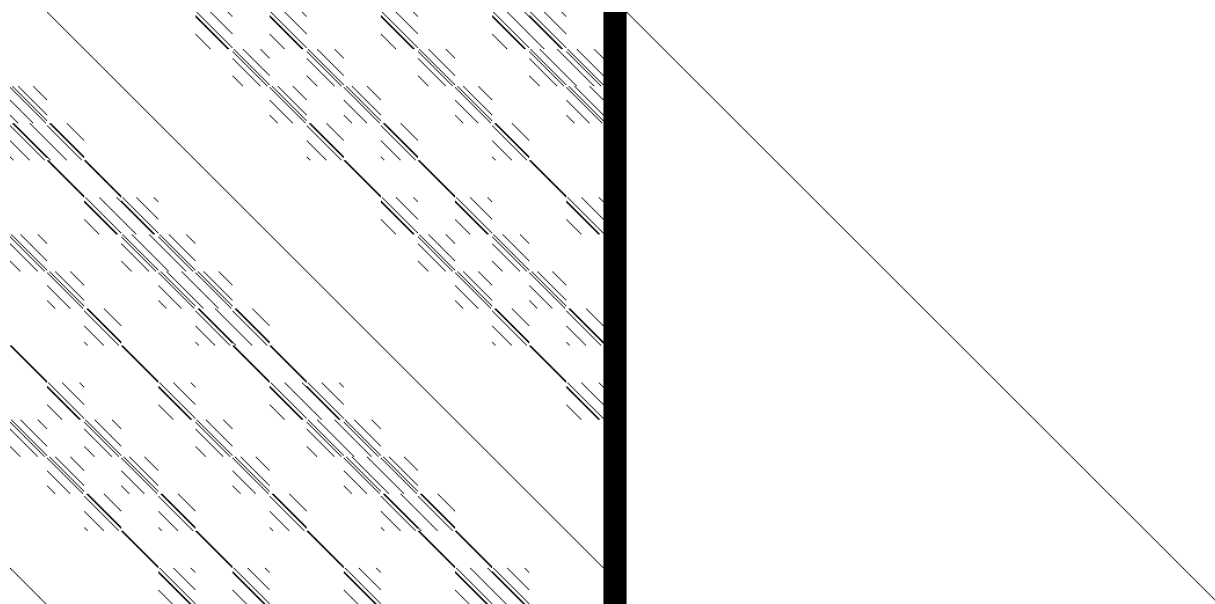
Obr.4: Výřez závislosti u matice, která má hodnotu o 1 nižší než plnou

Závislost Q_a na M

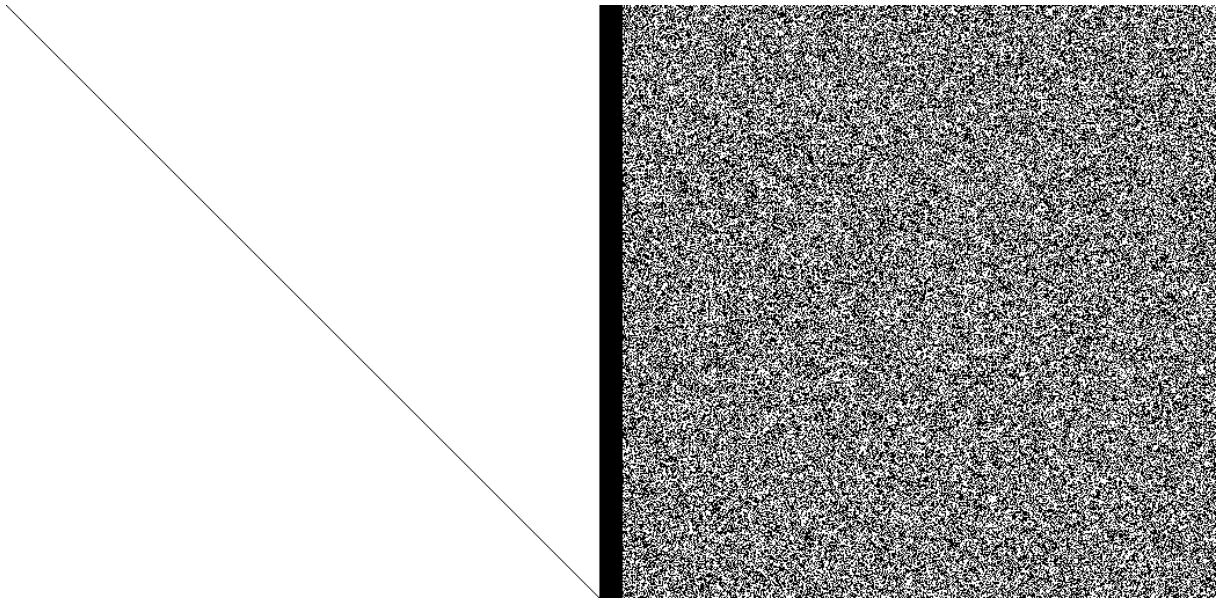
Závislost Q_a na M vidíme na obrázcích 2 a 3. Poznamenejme, že matice nezávisí na hodnotě ExpandRounds_1 , protože Q_a je vytvořena až ve funkci f_1 . Hodnota matice (M, Q_a) je $\text{rank}(M, Q_a) = 512$, tj. plná.

Závislost Q_a na H

Také hodnota matice (H, Q_a) je plná, a protože zobrazuje závislosti v bloku f_0 , ještě nezávisí na hodnotě ExpandRounds_1 .



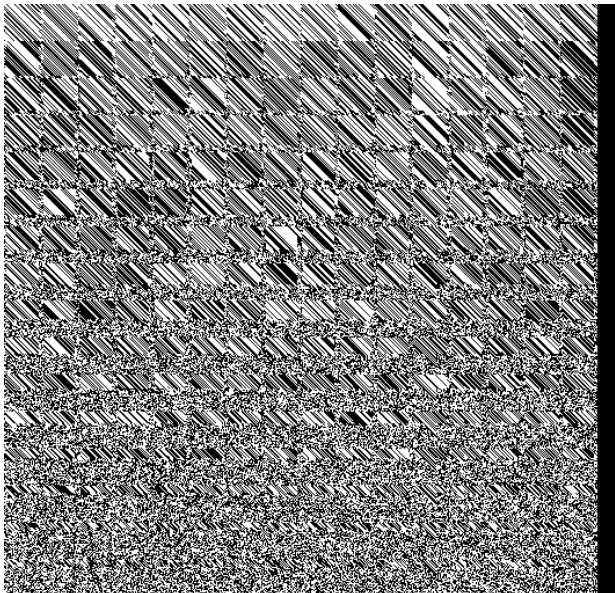
Obr.5: (H, Q_a)

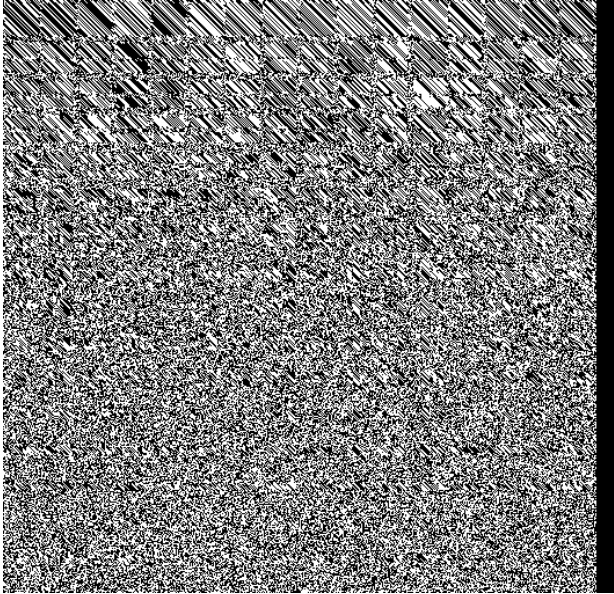
Obr.6: (H, Q_a)

Závislost Q_b na M

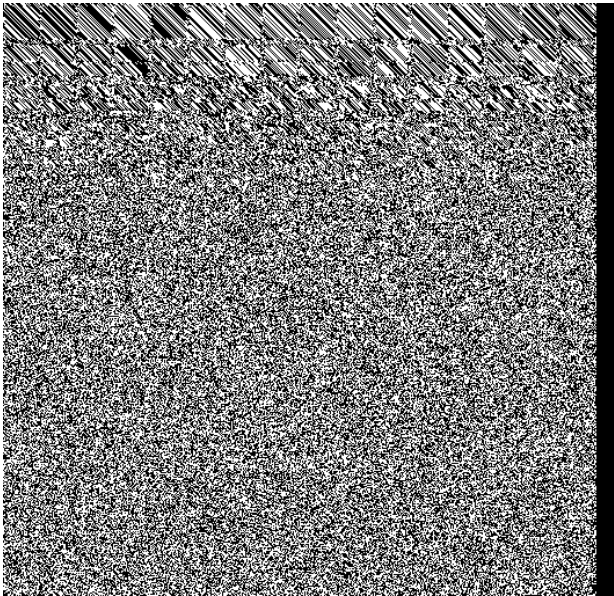
Zde můžeme poprvé vidět, že matice nemají plnou hodnotu a že s růstem ExpandRounds_1 mají tendenci se znáhodňovat. Protože ostatní závislosti jsou podobné, v dalším uvádíme pouze hodnoty všech matic a ukázky některých.

ExpandRounds_1	0	1	2	3	4	5	6	7	8
$\text{Rank}(M, Q_b)$	511	512	512	510	511	512	512	511	510
ExpandRounds_1	9	10	11	12	13	14	15	16	
$\text{Rank}(M, Q_b)$	511	511	512	512	510	512	511	510	

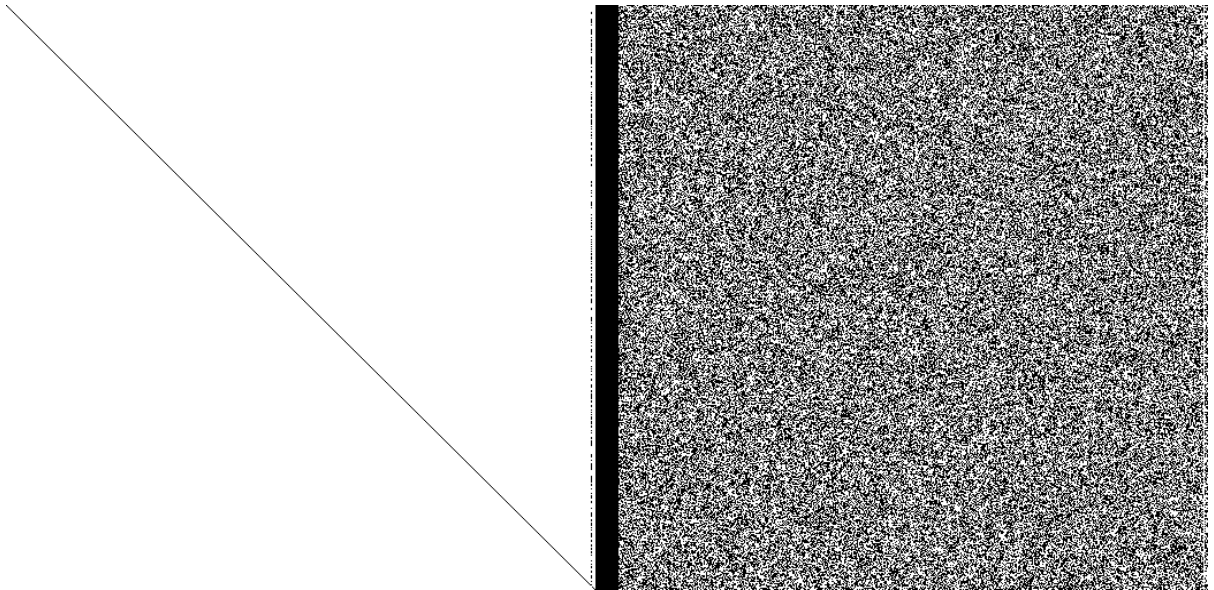
Obr.7: (M, Q_b) , $\text{ExpandRounds}_1 = 0$



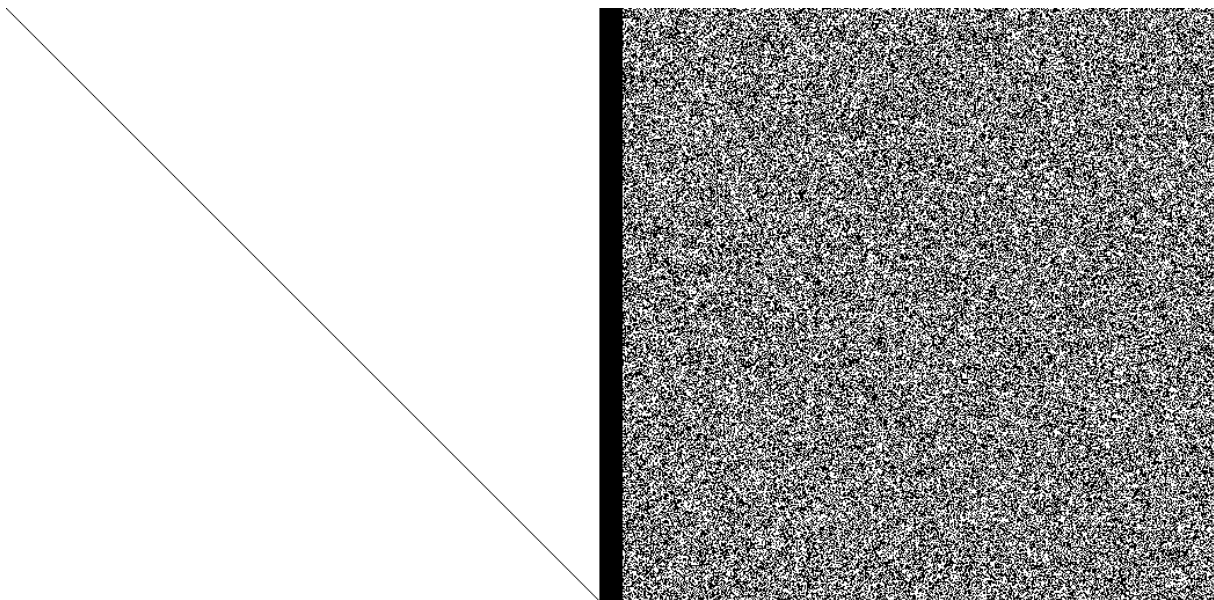
Obr.8: (M, Q_b) , ExpandRounds1 = 2



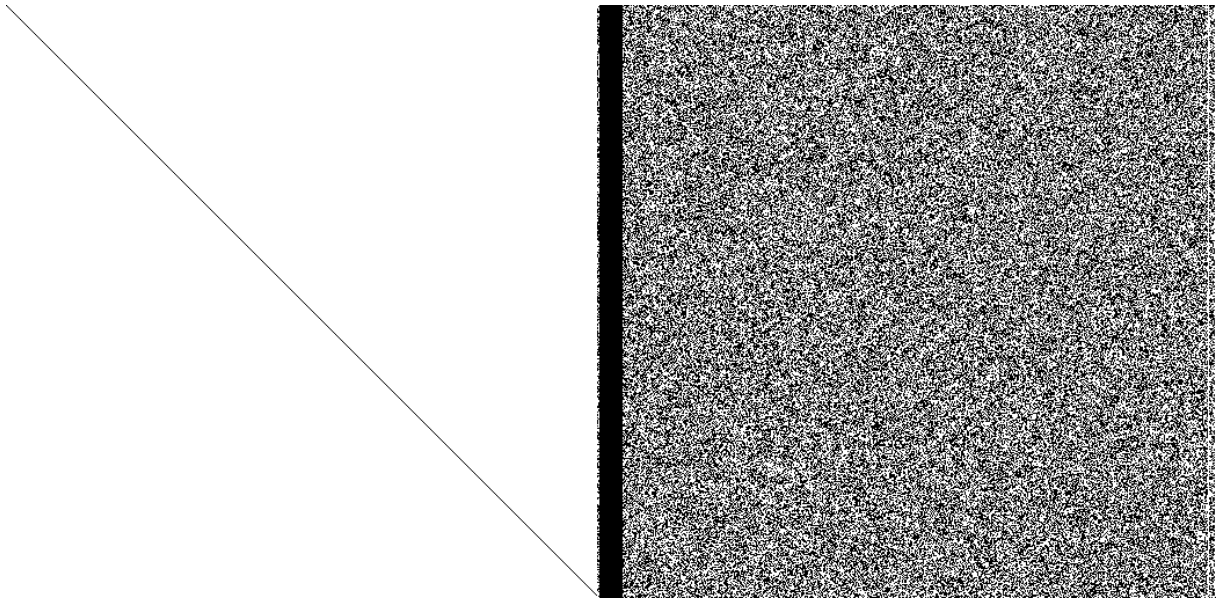
Obr.9: (M, Q_b) , ExpandRounds1 = 16



Obr.10: (M, Q_b) , ExpandRounds1 = 0



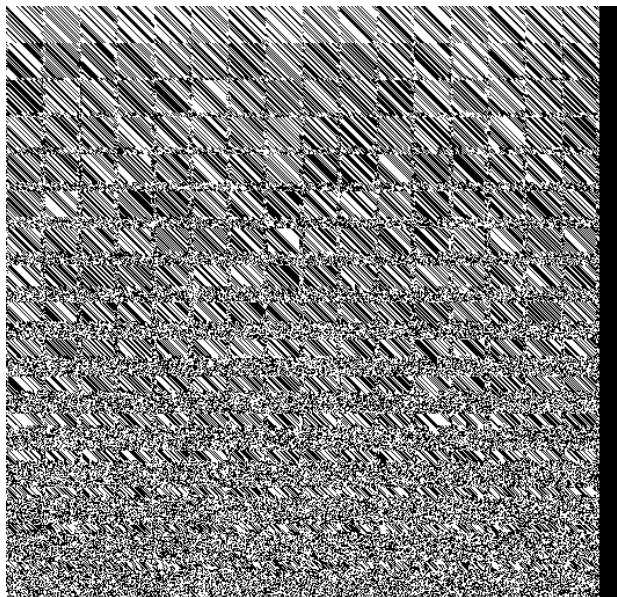
Obr.11: (M, Q_b) , ExpandRounds1 = 2



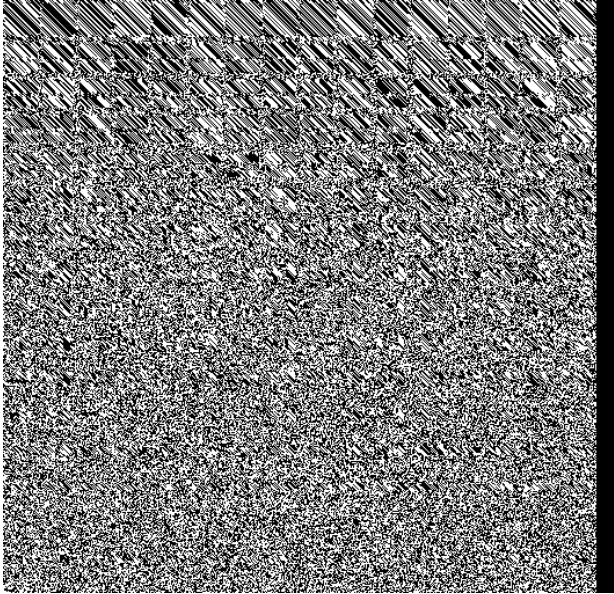
Obr.12: (M, Q_b) , ExpandRounds1 = 16

Závislost Q_b na oldH

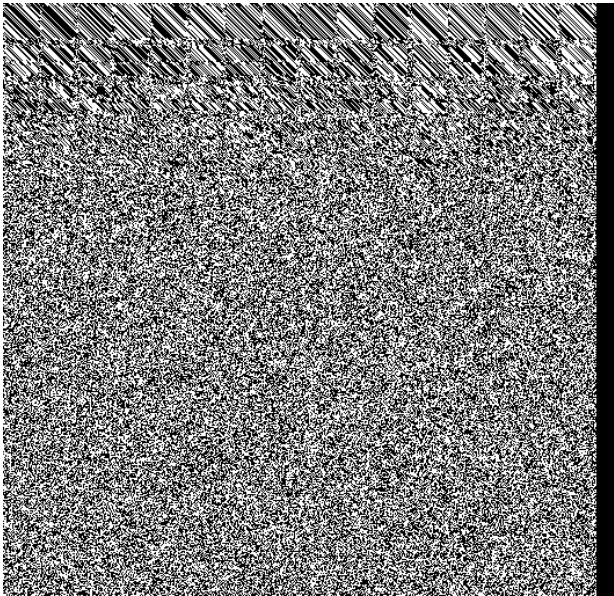
$ExpandRounds_1$	0	1	2	3	4	5	6	7	8
$Rank(oldH, Q_b)$	512	510	509	511	511	511	511	510	512
$ExpandRounds_1$	9	10	11	12	13	14	15	16	
$Rank(oldH, Q_b)$	511	511	512	510	511	512	511	511	



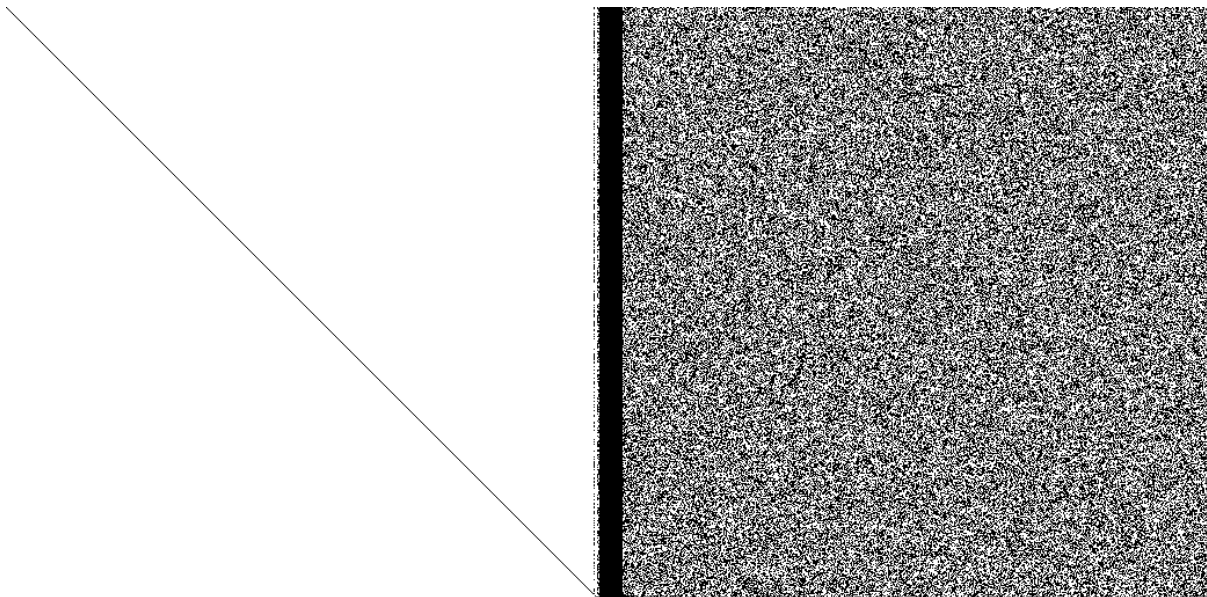
Obr.13: $(oldH, Q_b)$, ExpandRounds1 = 0



Obr.14: $(oldH, Q_b)$, ExpandRounds1 = 2



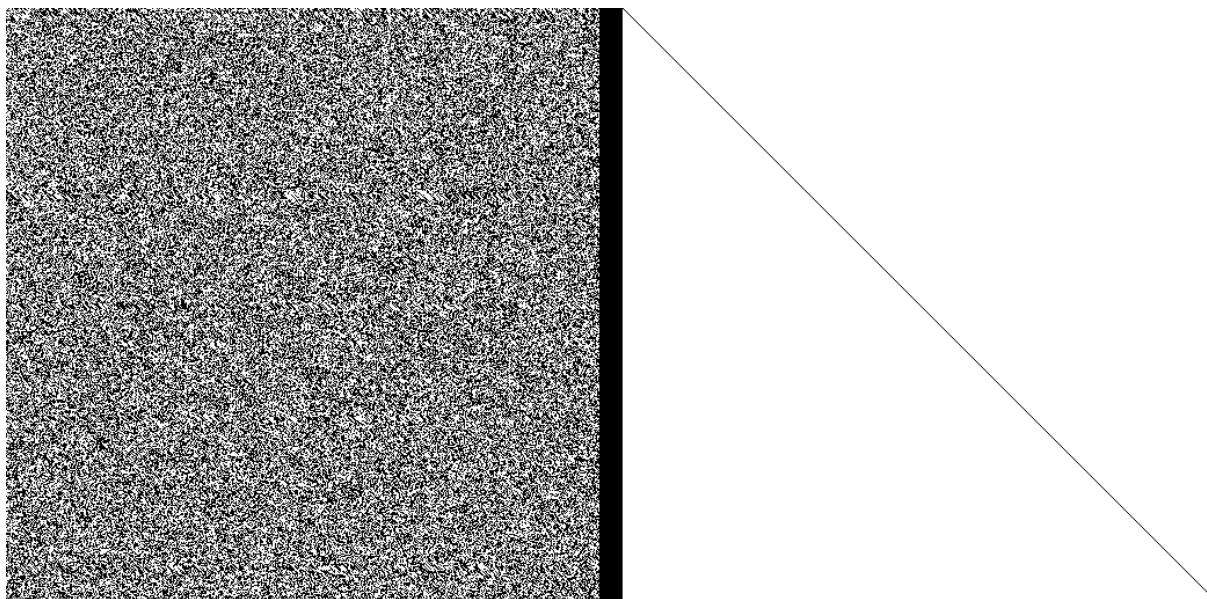
Obr.15: $(oldH, Q_b)$, ExpandRounds1 = 16



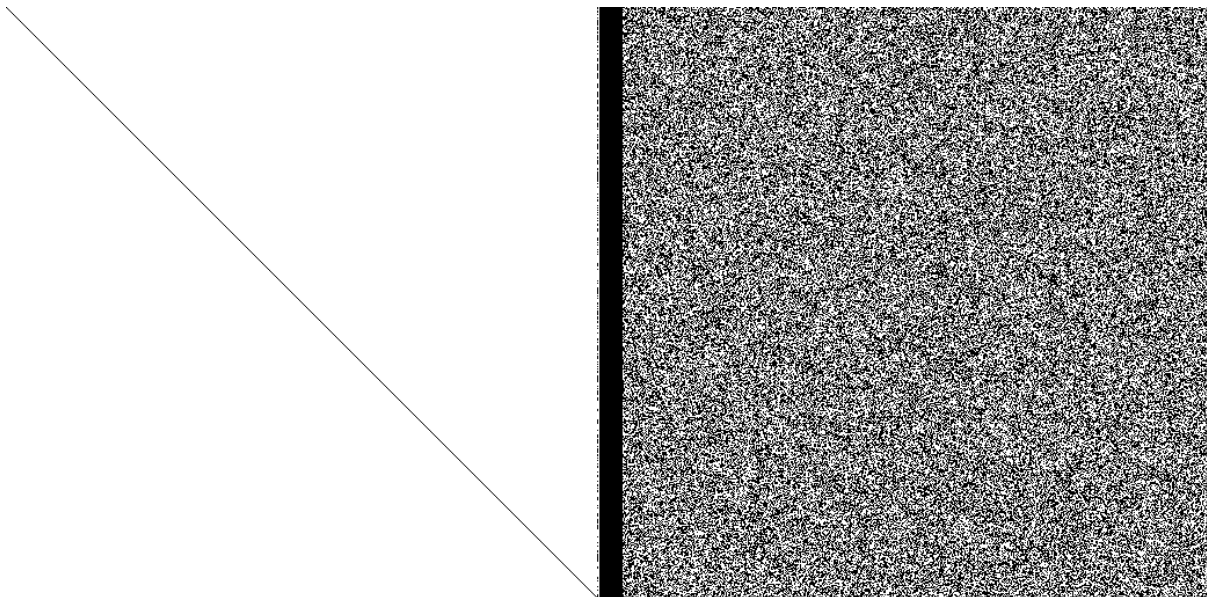
Obr.16: (oldH, Q_b), ExpandRounds1 = 2

Závislost G na M

<i>ExpandRounds</i> ₁	0	1	2	3	4	5	6	7	8
<i>Rank</i> (M, G)	512	510	511	512	510	511	510	512	511
<i>ExpandRounds</i> ₁	9	10	11	12	13	14	15	16	
<i>Rank</i> (M, G)	510	510	510	511	512	512	510	511	



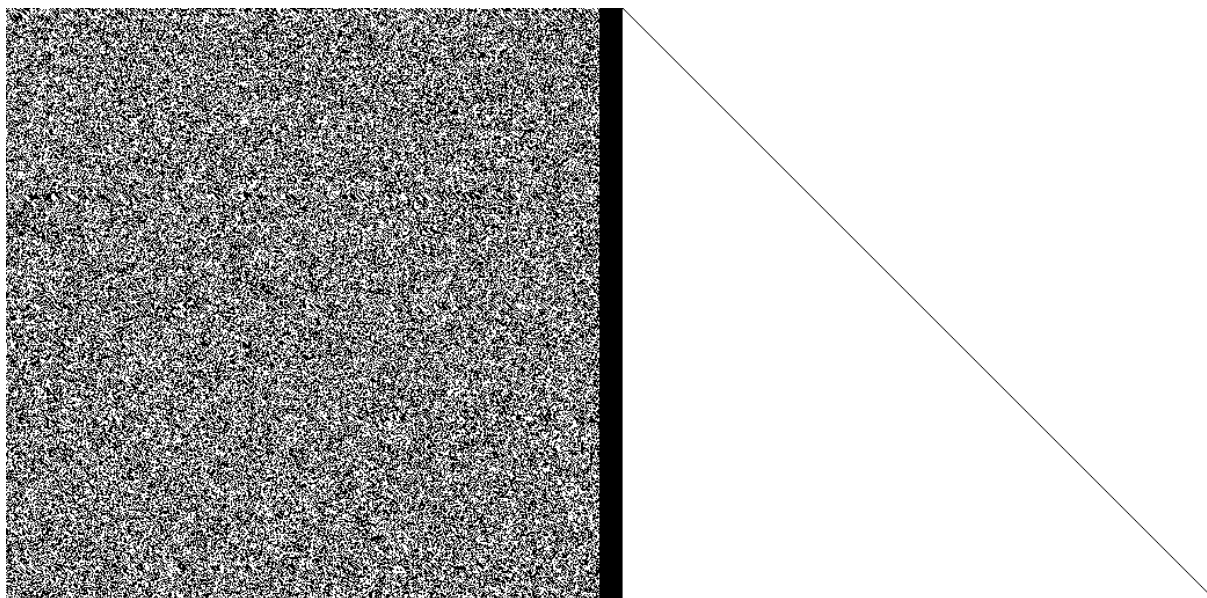
Obr.17: (M, G), ExpandRounds1 = 2



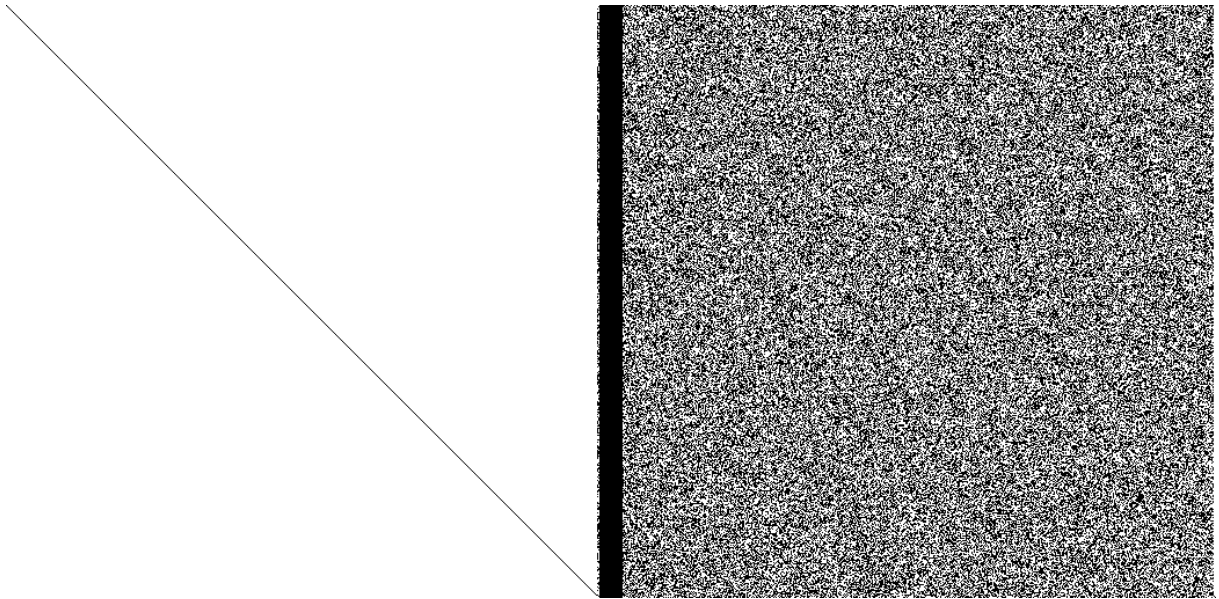
Obr.18: (M, G), ExpandRounds1 = 2

Závislost G na oldH

<i>ExpandRounds₁</i>	0	1	2	3	4	5	6	7	8
<i>Rank(oldH, G)</i>	511	511	510	511	511	511	512	511	511
<i>ExpandRounds₁</i>	9	10	11	12	13	14	15	16	
<i>Rank(oldH, G)</i>	512	510	510	511	512	512	511	511	



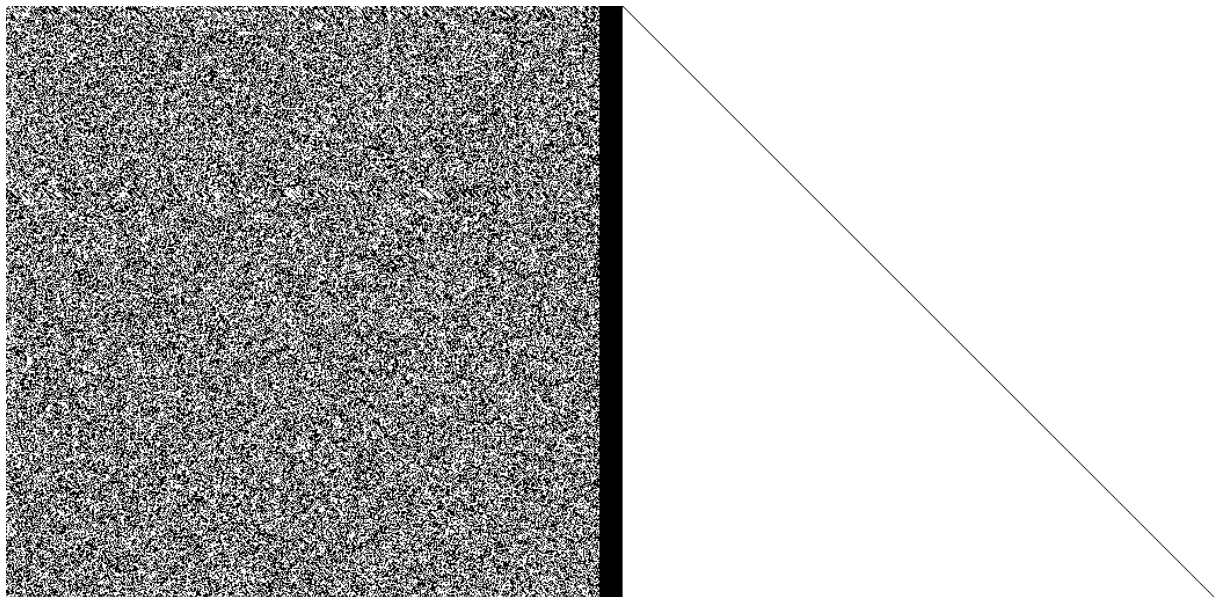
Obr.19: (oldH, G), ExpandRounds1 = 2



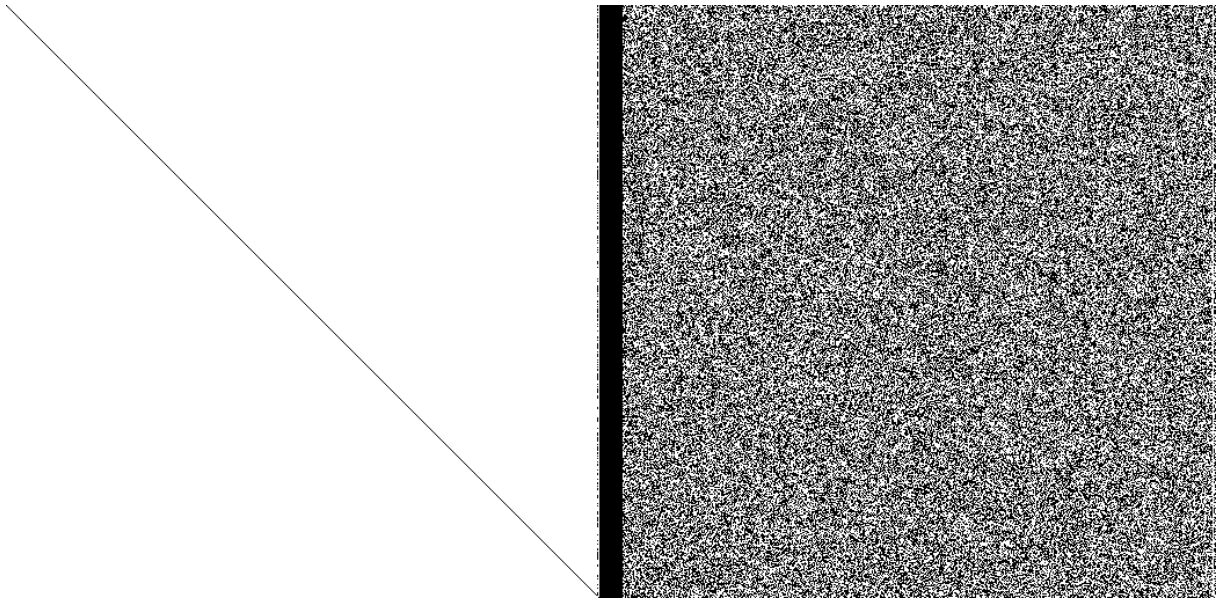
Obr.20: (oldH, G), ExpandRounds1 = 2

Závislost newH na M

<i>ExpandRounds₁</i>	0	1	2	3	4	5	6	7	8
<i>Rank(oldH, G)</i>	512	510	511	512	510	511	510	512	511
<i>ExpandRounds₁</i>	9	10	11	12	13	14	15	16	
<i>Rank(oldH, G)</i>	510	510	510	511	512	512	510	511	



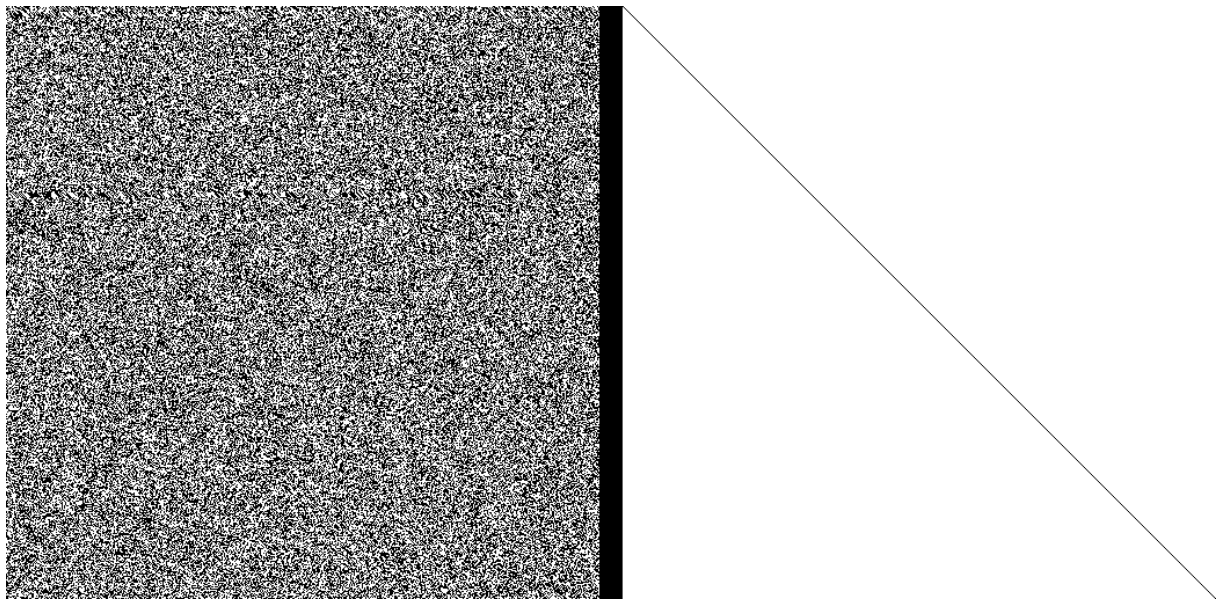
Obr.21: (M, newH), ExpandRounds1 = 2



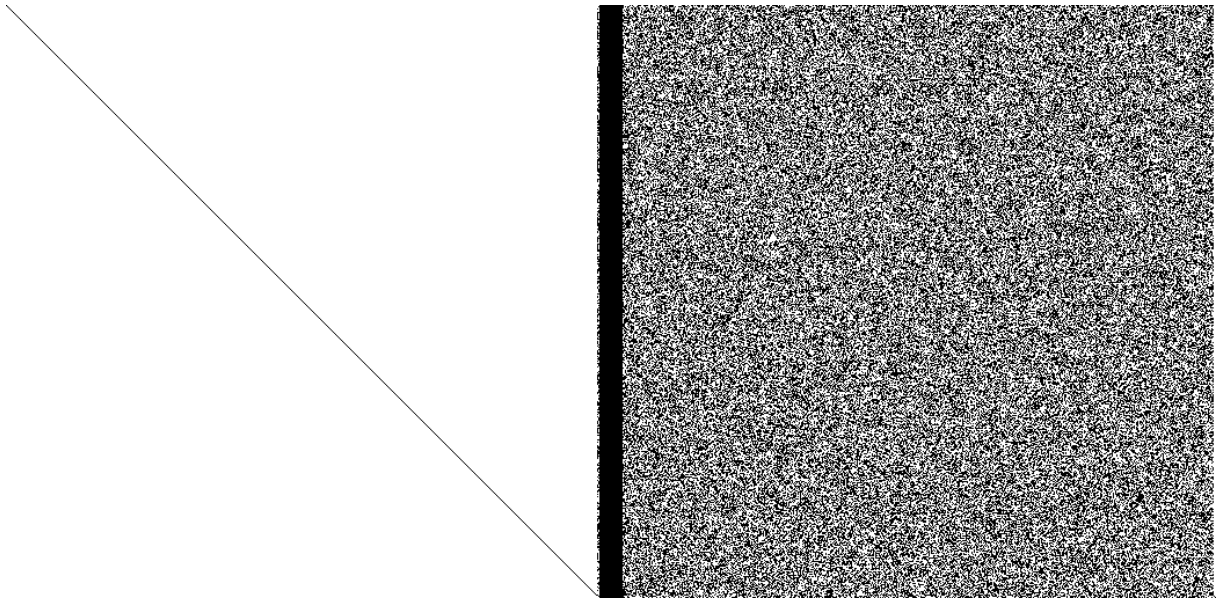
Obr.22: (M, newH), ExpandRounds1 = 2

Závislost newH na oldH

<i>ExpandRounds₁</i>	0	1	2	3	4	5	6	7	8
<i>Rank(oldH, newH)</i>	511	511	510	511	511	511	512	511	511
<i>ExpandRounds₁</i>	9	10	11	12	13	14	15	16	
<i>Rank(oldH, newH)</i>	512	510	510	511	512	512	511	511	



Obr.23: (oldH, newH), ExpandRounds1 = 2



Obr.24: (oldH, newH), ExpandRounds1 = 2

Závěr

Výsledky prezentované v tomto příspěvku jsou pouze malou částí analýz, které byly provedeny. Jak jste si povšimli, jsou zde zkoumány pouze závislosti na proměnných M a H . Avšak byly analyzovány i některé dílčí i vyšší stavební bloky zvláště (tj. i s jinými vstupy), což dává hlubší pohled do struktury BMW. Výsledky úplnější analýzy budou následovat. V tomto příspěvku jsme viděli, že všechny závislosti vytvářely matice s plnou hodnotí nebo jí blízkou. Také struktura matic byla očekávaná: matice dílčích bloků neměly náhodnou strukturu, ale splňovaly požadavky rychlého míchání proměnných (bitů). Matice vyšších stavebních bloků měly plnou nebo skoro plnou hodnotu a náhodnou strukturu. Viděli jsme také, že je-li požadováno (a možné) zvyšovat náhodnost, může to být uděláno zvyšováním počtu rund ExpandRounds₁. Tato pozorování platí pro obě dvě hlavní verze BMW256 a BMW512.

Literatura

- [1] Announcing Request for Candidate Algorithm Nominations for a New Cryptographic Hash Algorithm (SHA-3) Family, 2007, NIST, <http://csrc.nist.gov/groups/ST/hash/index.html>.
- [2] Danilo Gligoroski, Vlastimil Klima, On BLUE MIDNIGHT WISH decomposition, to be published
- [3] Danilo Gligoroski, Vlastimil Klima, Svein Johan Knapskog, Mohamed El-Hadedy, Jørn Amundsen, Stig Frode Mjølsnes: Cryptographic Hash Function Blue Midnight Wish, September 2009, <http://people.item.ntnu.no/~danilog/Hash/BMW-SecondRound/Supporting Documentation/BlueMidnightWishDocumentation.pdf>